#### —— ЭКСПЕРИМЕНТАЛЬНЫЕ СТАТЬИ ——

# ВЛИЯНИЕ СОЛЕЙ АЗИДА, ФТОРИДА, ОРТОВАНАДАТА И ЭДТА НАТРИЯ НА ЭКТО-АТФАЗНУЮ АКТИВНОСТЬ ЭРИТРОЦИТОВ СКОРПЕНЫ *(SCORPAENA PORCUS L.)* И МОРСКОЙ ЛИСИЦЫ *(RAJA CLAVATA L.)*

© 2021 г. Ю. А. Силкин<sup>1,\*</sup>, Е. Н. Силкина<sup>1</sup>, М. Ю. Силкин<sup>1</sup>

<sup>1</sup> Карадагская научная станция им. Т.И. Вяземского — природный заповедник РАН — филиал Федерального государственного бюджетного учреждения науки Федерального исследовательского центра "Институт биологии южных морей имени А.О. Ковалевского РАН", Феодосия, Россия

\*e-mail: ysilkin@mail.ru
Поступила в редакцию 15.04.2021 г.
После доработки 23.05.2021 г.
Принята к публикации 29.05.2021 г.

Исследовали влияние солей азида, фторида, ортованадата и ЭДТА натрия на экто-АТФазную активность эритроцитов скорпены (Scorpaena porcus L.) и морской лисицы (Raja clavata L.). Показано, что в ответ на воздействие миллимолярных (мМ) концентраций выбранных биохимических агентов выявлены значительные различия гидролитической активности экто-АТФаз плазматической мембраны эритроцитов хрящевых и костистых рыб. Так, экто-АТФаза эритроцитов морской лисицы была практически нечувствительна к действию азида натрия. Напротив, экто-АТФаза эритроцитов скорпены была чувствительна к действию азида натрия, который при 20 мМ концентрации на 65% блокировал активность фермента. Фермент эритроцитов ската сохранял значительную активность (37%) при высоких (60 мМ) концентрациях фторида натрия, а экто-АТФаза эритроцитов скорпены при этой концентрации блокировалась почти полностью. ЭДТА выступал как модификатор активности экто-АТФазы морской лисицы: при концентрации его до 6 мМ активно блокировался гидролиз АТФ (на 58%), а при более высоких концентрациях происходила стимуляция (до 20%) активности экто-АТФазы. Увеличение концентрации ЭДТА (до 12 мМ) в суспензиях эритроцитов скорпены постоянно стимулировало ингибиторный эффект комплексона (до 52% от контроля). Ортованадат слабо блокировал активность экто-АТФаз эритроцитов исследованных рыб. Указанные различия отражают большую толерантность экто-АТФазы эритроцитов морской лисицы, к действию взятых в опыты химических реагентов по сравнению со скорпеной. Отсутствие ингибирующего эффекта азида натрия на экто-AT Фазу эритроцитов морской лисицы позволяет предположительно отнести эту экто-НТФДазу к семейству экто-НТФДаз 2-го типа, тогда как экто-НТФДаза эритроцитов скорпены к экто-НТФДазам 1-го типа,

*Ключевые слова*: рыбы, эритроциты, экто-АТФазы, натриевые соли азида, фторида, ортованадата, эптл

**DOI:** 10.31857/S0044452921050077

Хорошо известно, что эритроциты позвоночных выделяют АТФ во внеклеточное пространство либо в виде патологического или физиологического ответа на деформацию и стресс [1]. Установлено, что АТФ и другие макроэргические фосфаты пурин-пиримидиновой природы, взаимодействуя с Р2Х и Р2У рецепторами, являются важными регуляторами межклеточных коммуникаций. Выделенная, внеклеточная АТФ и другие макроэргические фосфаты разрушаются в крови рыб за счет активности экто-нуклеотидаз эритроцитов и других экто-ферментов клеток кровеносной системы. Поэтому экто-нуклеотидазы являются основными регуляторами уровня выделенных эритроцитами в плазму крови межклеточных медиаторов и обеспечивают «выключение» сигнала, вызванного взаи-

модействием сигнальной молекулы и рецептора [2]. Наши ранние исследования свойств экто-нуклеотидаз эритроцитов скорпены (Scorpaena porcus L.) и ската — морской лисицы (Raja clavata L.) показали, что фермент имел высокую ферментативную активность (6.4 и 3.0 ммоль  $\Phi_{\rm H}/$ мин/мл эритроцитов соответственно). Экто-АТФаза была наделена широкой субстратной специфичностью, имела широкий диапазон рН оптимума, требовала для проявления своей максимальной активности присутствия двухвалентных катионов  $Ca^{2+}$  или  $Mg^{2+}$  [3, 4]. Все найденные ранее свойства указывали на то, что экто-нуклеотидаза эритроцитов рыб относится к ферментам семейства Е-типа, которые часто в литературе называют экто-АТФазами, экто-апиразами, нуклеозидтрифосфат-дифосфо-гидролазами (НТФДазы). Ингибиторный анализ является важным инструментом исследования свойств ферментов. В отношении экто-нуклеотидаз это особенно актуально, так как поиск специфических ингибиторов позволит упорядочить классификацию энзимов, выявить особенности их строения. В прикладном аспекте, как показали недавние исследования, это может иметь выходы на полезные терапевтические эффекты. Так, НТФДазы эритроцитов и других форменных элементов отвечают за уровень нуклеозиддифосфатов в плазме крови и тем самым регулируют тромборегуляторную функцию крови и функцию сосудистого тонуса. Изменение внеклеточных нуклеотидов и аденозина может увеличивать или уменьшать активность Р1 и Р2 рецепторов и тем самым открывает перспективу использования различных веществ в качестве имунномоделирующих, противораковых агентов, а также лечения расстройств сердечно-сосудистой и нервной системы. Многие патогенные организмы содержат экто-АТФазы, которые за счет влияния на внеклеточную концентрацию АТФ способны нарушать иммунные ответы хозяина. Поэтому экто-АТФазы патогенных организмов являются привлекательными мишенями для воздействия на них лекарственных средств [5]. Е-АТФазы по способности подвергаться воздействию миллимолярных концентраций азида натрия (NaN<sub>3</sub>) были разделены на два подсемейства: чувствительные и нечувствительные к действию ингибитора [6]. Азид является хорошо известным ингибитором митохондриальной АТФазы и цитохром с оксидазы [7]. В связи с этим важно было понять наличие влияния NaN<sub>3</sub> на активность экто-нуклеотидаз эритроцитов рыб и действие выбранных реагентов на другие энергетические пути в клетке. В этих исследованиях мы попытались оценить влияние на активность экто-АТФазы эритроцитов рыб фторида (NaF) и ортованадата (Na $_3$ VO $_4$ ) натрия, которые, как известно, являются ингибиторами гликолиза. Важной характеристикой фермента является изучение воздействия на его активность ЭДТА динатриевой соли, которая осуществляет связывание двухвалентных катионов, необходимых для процесса ферментативного гидролиза АТФ. Таким образом, в задачи настоящего исследования входило изучение влияния на активность экто-АТФаз эритроцитов рыб азида, фторида, ортованадата и ЭДТА натрия.

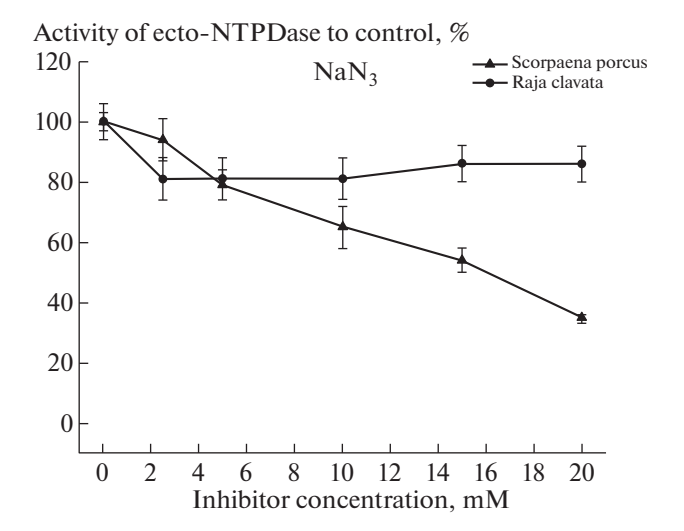
## МЕТОДЫ ИССЛЕДОВАНИЯ

В исследованиях использовали два вида рыб — скат, морская лисица (*Raja clavata* L.) и скорпена (*Scorpaena porcus* L.). Рыб отлавливали в прибрежной акватории Карадагской бухты (Юго-восточный Крым), используя для поимки скатов донные снасти с крючками, а для скорпены — донные сети. Отловленных рыб помещали в бассейны с морской

водой с искусственной аэрацией. Скаты содержались в бассейне объемом 25000 л, а скорпена – в бассейнах 1000 л. Забор крови проводили после недельной аклимации рыб в бассейнах. У ската кровь отбирали пункцией сердца, а у скорпены - пункцией хвостовой вены. Условия содержания рыб и все процедуры по отбору образцов соответствовали этическим стандартам, утвержденным правовыми актами РФ, принципам Базельской декларации, международным, национальным и/или институциональным принципам. Отобранную кровь сразу помещали в охлажденный физиологический раствор в соотношении 1:20. Состав физиологического раствора для ската (мМ): 220 NaCl + 400 мочеви-+10 Трис +10 Трис +10 Ед/мл гепарин (pH = 7.3–7.4); для скорпены (мМ): 180 NaCl + 10 Трис HCl + 5 Ед/мл гепарин (pH = 7.3-7.4). Эритроциты от надосадочной жидкости отделяли путем центрифугирования на центрифуге К-23 (Германия) в течение 10 мин при относительном центробежном ускорении ротора (RCF – relative centrifugal field) 377-671 g и температуре +4°C. Надосадочную жидкость отсасывали, а полученные клетки разводили до гематокрита (Ht) = 0.05-0.07, полученную суспензию клеток использовали в экспериментах.

Для изучения воздействия биохимических агентов инкубацию подготовленных суспензий эритроцитов скорпены и ската проводили в средах с конечной концентрацией (мМ): азида натрия (NaN<sub>3</sub>) -2.5, 5, 10, 15, 20; фторида натрия (NaF) -10, 20, 30, 40, 50, 60; ЭДТА -2, 4, 6, 8, 10; ортованадата натрия (Na<sub>3</sub>VO<sub>4</sub>) -1, 2, 3, 4, 5.

Для определения активности экто-АТФазы в цельных эритроцитах использовали методику А. Казеннова и соавт. [8]. Инкубационная среда для определения активности экто-АТФазы эритроцитов скорпены содержала в конечной концентрации (мМ) следующие ингредиенты: 125 NaCl +  $+ 5 \text{ KCl} + 6 \text{ MgCl}_2 + 50 \text{ Трис-HCl}, pH 7,4; для эрит$ роцитов ската: 400 мочевина + 135 NaCl + 5 KCl + + 6 MgCl<sub>2</sub> + 50 Трис-HCl, pH 7, 4. В инкубационных пробирках смешивали 0.1 мл инкубационной среды, 0.1 мл Н<sub>2</sub>О (контроль) или 0.1 мл раствора ингибитора, 0.1 мл раствора АТФ-Nа, до концентрации 0.5 мМ. Реакцию запускали добавлением 0.1 мл суспензии эритроцитов. Температура инкубации в стандартных условиях и при определении кинетических констант составляла +20°C. Реакцию останавливали добавлением 0.2 мл 20%-ной ТХУ. Затем пробы центрифугировали в течение 5 мин при RCF = 1958 g. В надосадочной жидкости по модифицированному А. Казенновым и М. Масловой [9] методу Чена и соавт. [10] определяли содержание неорганического фосфата, по накоплению которого судили об активности фермента. Активность экто-АТФазы выражали в нмоль  $\Phi_{u}$ /мин/мкл упакованных клеток. При сравнении эффективности ингибиторного воздействия для



**Рис. 1.** Динамика изменения активности экто-НТФДазы эритроцитов рыб (%) при воздействии мМ концентраций азида натрия (NaN<sub>3</sub>).

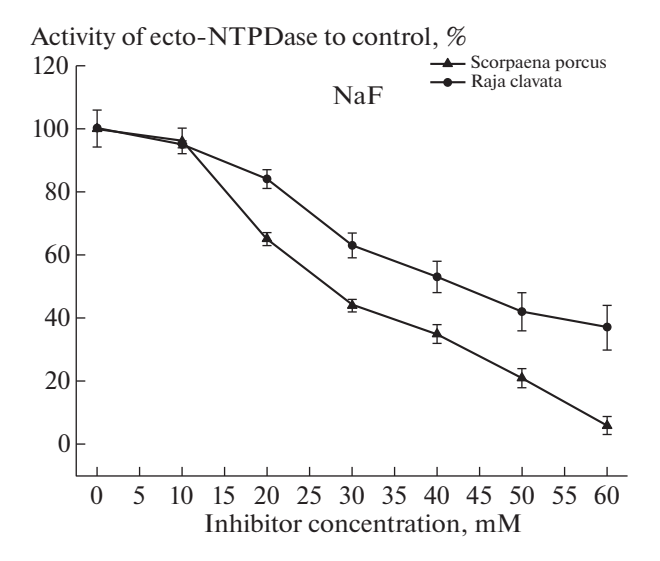
каждого действующего вещества рассчитывали концентрацию 50% ингибирования активности экто-АТФазы эритроцитов рыб ( $I_{50}$ ). Для удобства сравнительного анализа воздействия выбранных солей на экто-АТФазную активность эритроцитов рыб все графики выполнены с использованием процентного изменения активности фермента относительно активности физиологического оптимума энзима (контроль).

Во всех экспериментах использовали стандартные методы статистической обработки результатов. Все результаты представлены в виде  $x \pm S_x$ . Достоверность различий определяли с помощью критерия Стьюдента. Различия считались достоверными при p < 0.05.

#### РЕЗУЛЬТАТЫ ИССЛЕДОВАНИЯ

Результаты проведенных исследований представлены в табл. 1 и на рис. 1-4. Как видно в табл. 1 и на рис. 1 азид натрия  $(NaN_3)$  по-разному воздействовал на активность экто-АТФазы эритроцитов у скорпены и морской лисицы. У скорпены при нарастании концентрации ингибитора активность фермента падала примерно пропорционально величине действующей концентрации. На графике это падение имело вид практически прямой линии с максимумом снижения активности на 65% от исходной, при действующей концентрации азида в 20 мМ (рис. 1). Концентрация ингибитора  $(NaN_3)$ , при которой активность экто-АТФазы эритроцитов скорпены составляла половину от ее контрольного уровня  $(I_{50})$ , оказалбсь равной 15 мМ (табл.1).

У морской лисицы ингибирующий эффект азида (на 19%) отмечен только на фоне добавления начальной концентрации (2.5 мМ) агента. Дальней-



**Рис. 2.** Динамика изменения активности экто-НТФДазы эритроцитов рыб (%) при воздействии мМ концентраций фторида натрия (NaF).

шее увеличение концентрации  $NaN_3$  не приводило к изменению активности экто-АТФазы эритроцитов ската (рис. 1), что свидетельствовало об отсутствии чувствительности фермента к этому реагенту.

Ингибирующий эффект фторида натрия (NaF) на экто-АТФазную активность эритроцитов скорпены имел нелинейный характер (рис. 2). Незначительное снижение (на 4%) активности фермента при 10 мМ концентрации фторида сменялось его стремительным падением при увеличении его концентрации. Наиболее значительное снижение уровня активности фермента наблюдалось при концентрации фторида в 20 и 30 мМ (65% и 44% от исходного уровня соответственно). Дальнейшее увеличение концентрации реагента приводило к замедлению падения активности фермента. При 40 мМ концентрации NF уровень активности фермента составлял 35% от контрольного уровня, а при 50 мМ концентрации активность экто-АТФазы не превышала 21%. При 60 мМ концентрации фторида натрия активность энзима составляла всего 6% от исходного уровня, что свидетельствовало о высокой эффективности ингибирующего воздействия NaF (рис. 2).

Влияние NaF на активность экто-АТФазы эритроцитов морской лисицы имело сходные черты с его воздействием на активность экто-фермента эритроцитов скорпены. Однако в эритроцитах ската падение активности фермента под действием фторида было менее стремительным. Так, при 30 мМ концентрации фторида снижение активности экто-АТФазы составляло 37% от контрольного уровня, а при 60 мМ концентрации реагента активность фермента снижалась на 63%. Остаточная ак-

Таблица 1. Влияние различных ингибиторов на активность экто-АТФазы эритроцитов скорпены и морской лисицы

| Вид                              | Ингибитор                                    | Концентрация ингибитора (мМ) | Активность<br>(нмольФн/мин/мкл) | Активность в (%) к контролю | Число<br>опытов | I <sub>50</sub> (мМ) |
|----------------------------------|--|------------------------------|---------------------------------|-----------------------------|-----------------|----------------------|
| PORCUS L.)                       | NaN <sub>3</sub> (азид натрия)               | 0 (контроль)                 | $4.8 \pm 0.3$                   | $100 \pm 6$                 | 7               | 15                   |
|                                  |  | 2.5                          | $4.5 \pm 0.3$                   | 94 ± 7                      | 7               |                      |
|                                  |  | 5                            | $3.8 \pm 0.2$                   | $79 \pm 5$                  | 7               |                      |
|                                  |  | 10                           | $3.1 \pm 0.2*$                  | $65 \pm 7$                  | 7               |                      |
|                                  |  | 15                           | $2.6 \pm 0.1*$                  | $54 \pm 4$                  | 7               |                      |
|                                  |  | 20                           | $1.7 \pm 0.02*$                 | $35 \pm 1$                  | 7               |                      |
|                                  | NaF (фторид натрия)                          | 0 (контроль)                 | $4.8 \pm 0.3$                   | $100 \pm 6$                 | 7               | 37                   |
|                                  |  | 10                           | $4.6 \pm 0.2$                   | $96 \pm 4$                  | 5               |                      |
|                                  |  | 20                           | $3.1 \pm 0.2$                   | $65 \pm 6$                  | 6               |                      |
|                                  |  | 30                           | $2.1 \pm 0.05*$                 | $44 \pm 2$                  | 6               |                      |
|                                  |  | 40                           | $1.7 \pm 0.04$ *                | $35 \pm 2$                  | 6               |                      |
| Ž                                |  | 50                           | $1.0 \pm 0.03*$                 | $21 \pm 3$                  | 6               |                      |
| CKOPITEHA (SCORPAENA PORCUS L.)  |  | 60                           | $0.3 \pm 0.01$ *                | $6\pm3$                     | 6               |                      |
|                                  | ЭДТА   | 0 (контроль)                 | $4.8 \pm 0.3$                   | $100 \pm 6$                 | 7               | 12                   |
|                                  |  | 2                            | $4.7 \pm 0.3$                   | $98 \pm 4$                  | 7               |                      |
|                                  |  | 4                            | $3.8 \pm 0.2$                   | $79 \pm 3$                  | 7               |                      |
|                                  |  | 6                            | $3.2\pm0.2$                     | $67 \pm 6$                  | 7               |                      |
|                                  |  | 8                            | $2.9 \pm 0.1*$                  | $60 \pm 3$                  | 7               |                      |
|                                  |  | 10                           | $2.7 \pm 0.1*$                  | $56 \pm 4$                  | 7               |                      |
|                                  |  | 12                           | $2.3 \pm 0.08*$                 | $48 \pm 3$                  | 7               |                      |
|                                  | Na <sub>3</sub> VO <sub>4</sub> (ортованадат | 0 (контроль)                 | $5.0 \pm 0.2$                   | $100 \pm 4$                 | 7               |                      |
|                                  | натрия)                                      | 1                            | $4.9 \pm 0.3$                   | $98 \pm 6$                  | 7               |                      |
|                                  |  | 2                            | $4.8 \pm 0.1$                   | $96 \pm 2$                  | 7               |                      |
|                                  |  | 3                            | $4.3 \pm 0.1$                   | $86 \pm 2$                  | 7               |                      |
|                                  |  | 4                            | $4.4\pm0.2$                     | $88 \pm 5$                  | 7               |                      |
|                                  |  | 5                            | $4.7 \pm 0.1$                   | $94 \pm 2$                  | 7               |                      |
| L.)                              | NaN <sub>3</sub> (азид натрия)               | 0 (контроль)                 | $3.7 \pm 0.1$                   | $100 \pm 3$                 | 7               | _                    |
| ΓAΙ                              |  | 2.5                          | $3.0 \pm 0.2$                   | 81 ± 7                      | 7               |                      |
| X.                               |  | 5                            | $3.0 \pm 0.2$                   | 81 ± 7                      | 7               |                      |
| RAJA CLA                         |  | 10                           | $3.0 \pm 0.2$                   | $81 \pm 7$                  | 7               |                      |
|                                  |  | 15                           | $3.2\pm0.2$                     | $86 \pm 6$                  | 7               |                      |
|                                  |  | 20                           | $3.2 \pm 0.2$                   | $86 \pm 6$                  | 7               |                      |
| ĮĄ (                             | NaF (фторид натрия)                          | 0 (контроль)                 | $3.8 \pm 0.2$                   | $100 \pm 6$                 | 7               | 51                   |
| МОРСКАЯ ЛИСИЦА (RAJA CLAVATA L.) |  | 10                           | $3.6 \pm 0.05$                  | 95 ± 1                      | 7               |                      |
|                                  |  | 20                           | $3.2 \pm 0.1$                   | $84 \pm 3$                  | 7               |                      |
|                                  |  | 30                           | $2.4 \pm 0.1$                   | $63 \pm 4$                  | 7               |                      |
|                                  |  | 40                           | $2.0\pm0.1*$                    | $53 \pm 5$                  | 7               |                      |
|                                  |  | 50                           | $1.6 \pm 0.1*$                  | 42 ± 6                      | 7               |                      |
|                                  |  | 60                           | $1.4 \pm 0.1*$                  | $37 \pm 7$                  | 7               |                      |

Таблица 1. Окончание

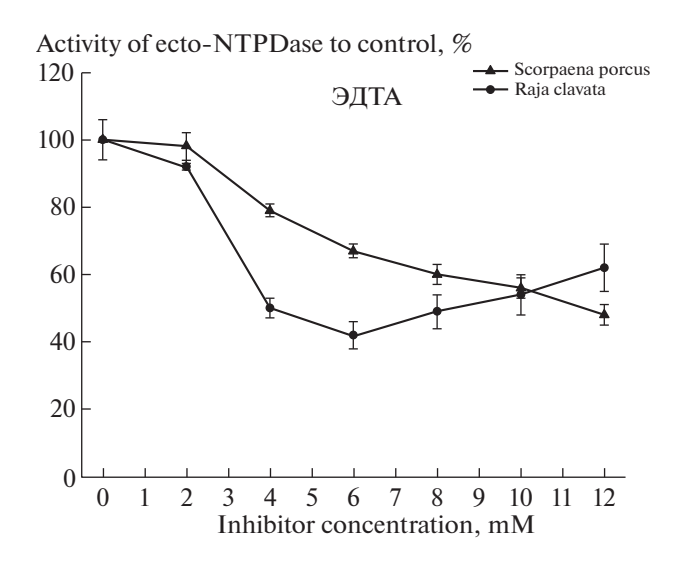
| Вид | Ингибитор                                    | Концентрация ингибитора (мМ) | Активность<br>(нмольФн/мин/мкл) | Активность в (%) к контролю | Число<br>опытов | I <sub>50</sub> (мМ) |
|-----|--|------------------------------|---------------------------------|-----------------------------|-----------------|----------------------|
| -   | ЭДТА   | 0 (контроль)                 | $3.9 \pm 0.2$                   | $100 \pm 5$                 | 7               | 4                    |
|     |  | 2                            | $3.6 \pm 0.2$                   | 92 ± 6                      | 5               |                      |
|     |  | 4                            | $1.95 \pm 0.1*$                 | $50 \pm 5$                  | 5               |                      |
|     |  | 6                            | $1.65 \pm 0.1*$                 | 42 ± 6                      | 5               |                      |
|     |  | 8                            | $1.9 \pm 0.1*$                  | 49 ± 5                      | 5               |                      |
|     |  | 10                           | $2.1 \pm 0.1*$                  | 54 ± 5                      | 5               |                      |
|     |  | 12                           | $2.4 \pm 0.1$                   | $62 \pm 4$                  | 5               |                      |
|     | Na <sub>3</sub> VO <sub>4</sub> (ортованадат | 0 (контроль)                 | $3.4 \pm 0.2$                   | $100 \pm 6$                 | 5               |                      |
|     | натрия)                                      | 1                            | $2.9 \pm 0.1$                   | $85 \pm 3$                  | 5               |                      |
|     |  | 2                            | $2.6\pm0.1$                     | $77 \pm 4$                  | 5               |                      |
|     |  | 3                            | $2.5 \pm 0.1$                   | $74 \pm 4$                  | 5               |                      |
|     |  | 4                            | $2.5 \pm 0.1$                   | 74 ± 4                      | 5               |                      |
|     |  | 5                            | $2.4 \pm 0.1$                   | 71 ± 4                      | 5               |                      |

*Примечание*: достоверность различий по сравнению с контролем p < 0.05.

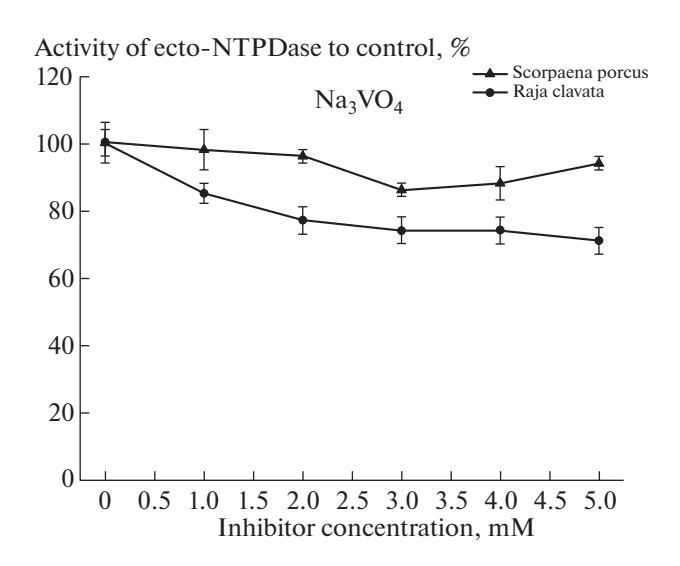
тивность экто-АТФазы эритроцитов морской лисицы при 60 мМ концентрации NF была в 6 раз выше, чем у скорпены и составляла 37% от контрольного уровня (рис. 2, табл. 1). На более высокую ингибирующую активность фторида натрия в отношении экто-АТФазы эритроцитов скорпены указывает его  $I_{50}$  (37 мМ), что почти в 1.4 раза меньше, чем  $I_{50}$  для эритроцитов морской лисицы (51 мМ) (табл. 1).

Воздействие ЭДТА на активность экто-ферментов у исследованных костистых и хрящевых рыб также имело свои особенности. При возрастании концентрации ЭДТА до 6 мМ комплексон вызывал торможение активности экто-АТФазы эритроцитов как у скорпены, так и у морской лисицы (табл. 1, рис. 3). Однако ингибирующий эффект ЭДТА у эритроцитов морской лисицы был более выражен и, уже при 4 мМ концентрации ЭДТА, активность фермента снижалась на 50% от контрольного уровня. В эритроцитах скорпены при нарастании концентрации ингибитора от 2 до 12 мМ снижение активности происходило медленнее и 50% ингибирование  $(I_{50})$ наступало при концентрации ингибитора в 12 мМ. В отличие от скорпены у морской лисицы, начиная с 8 мМ концентрации ЭД-ТА. происходило увеличение активности фермента, который к 12 мМ уровню реагента составлял 62% от контроля (рис. 3). Таким образом, у морской лисицы ЭДТА в зависимости от действующей концентрации вызывал как ингибирование, так и стимулирование активности экто-АТФазы плазматической мембраны ее эритроцитов. У скорпены подобный эффект не наблюдался.

Результаты действия ортованадата натрия представлены в табл. 1 и на рис. 4. Как видно из представленных данных действие ортованадата на активность экто-АТФазы эритроцитов скорпены подобно действию ЭДТА на экто-фермент красных клеток крови морской лисицы (рис. 3). При низких концентрациях (1—3 мМ) ортованадат вызывал слабое ингибирование фермента, максимум активности которого составлял 86% при 3 мМ концентрации этого реагента. При дальнейшем увеличении концентрации Na<sub>3</sub>VO<sub>4</sub> (4 и 5 мМ) наблюдалась



**Рис. 3.** Динамика изменения активности экто-НТФДазы эритроцитов рыб (%) при воздействии мМ концентраций ЭДТА.



**Рис. 4.** Динамика изменения активности экто-НТФДазы эритроцитов рыб (%) при воздействии мМ концентраций ортованадата натрия ( $Na_3VO_4$ ).

стимуляция активности экто-АТФазы, которая на фоне 5 мМ концентрации ортованадата натрия составляла 94% от исходного уровня.

Ортованадат в эритроцитах морской лисицы, по мере возрастания его концентрации, также как и у скорпены, слабо ингибировал экто-АТФазную активность. Максимум ингибиторного эффекта при 5 мМ концентрации ортованадата составлял 29% и был несколько выше у морской лисицы, чем у скорпены (24%). Ортованадат натрия у морской лисицы не вызывал повышения активности при высоких концентрациях в среде инкубации и не выступал как модификатор экто-нуклеотидазы ската (рис. 4, табл. 1).

# ОБСУЖДЕНИЕ РЕЗУЛЬТАТОВ

Азид натрия является хорошо известным ингибитором митохондриальной  $AT\Phi$ азы ( $F_1 F_0$ ) типа с  $I_{50}$  ≈ 0.04 мкм [7]. Так как NaN<sub>3</sub> ингибирует и водорастворимую AT $\Phi$ азу ( $F_1$ ), был сделан вывод о том, что местом связывания ингибитора является F<sub>1</sub> субъединица фермента, часто называемая фактором сопряжения. Точный механизм взаимодействия ингибитора с фактором сопряжения неизвестен, однако считается, что азид действует через механизм стабилизации неактивной формы фермента —  $F_l^* \cdot A \mathcal{I} \Phi \cdot Mg$  [11]. Для определения в гомогенатах тканей активности АТФаз V- и P- типа, в реакционную смесь включают азид натрия (1-5 мМ) для подавления митохондриальной активности в препаратах. В 1962 г. Джонесу и Эрнстеру при исследовании микросомальных препаратов печени крыс удалось выявить еще одну азидингибируемую АТФазу, не связанную с митохондриальным комплексом гепатоцитов [12]. Эта АТФаза отличалась по своим биохимическим свойствам от АТФазы ( $F_1$   $F_0$ ), она была наделена широкой субстратной специфичностью и, кроме АТФ, могла гидролизовать и другие нуклеозидтрифосфаты (НТФ) и некоторые нуклеозиддифосфаты (НДФ), поэтому получила название НТФДифосфогидролаза (НТФДаза). Важным отличием найденной НТФДазы было то, что концентрация азида натрия, необходимая для полумаксимального ингибирования активности фермента, была в мМ диапазоне, что на порядок было больше концентрации  $NaN_3$ , необходимой для  $I_{50}$   $AT\Phi$ азы  $(F_1F_0)$ . Доказательства того, что ингибированная азидом АТФаза встроена в плазматическую мембрану с наружной ее стороны, были получены в 90-х годах прошлого века [13]. В настоящее время известно, что АТФазы, активный центр которых, находится на поверхности мембраны, составляют одно семейство Е-АТФаз (Е – обозначает экто). Эти АТФазы характеризуются широкой субстратной специфичностью, необходимостью присутствия, для проявления активности ионов двухвалентных катионов  $Ca^{2+}$  или  $Mg^{2+}$  и практически полным отсутствием чувствительности к действию специфических ингибиторов АТФаз V и F –типа [14]. Трудности исследования экто-АТФаз обусловлены их высокой чувствительностью к инактивации детергентами. Поэтому попытки выделения экто-НТФДаз из мембран клеток часто заканчивались неудачами и только в 1992 г. гликопротеин фермента, из поперечных канальцев мышечных волокон кролика, был успешно очищен в чистом виде [15]. Дальнейшие исследования позволили выявить четыре экто-нуклеозид-трифосфат/дифосфогидролазы (НТФДаз), которые были разделены на подсемейства с порядковыми номерами 1, 2, 3 и 8 (НТФДаза 1, НТФДаза 2, НТФДаза 3, НТФДаза 8) [16]. В литературе нами не найдено примеров выделения чистых препаратов экто-НТФДаз из эритроцитов рыб, других позвоночных животных и человека.

Экто-НТФДазы хрящевых и костистых рыб демонстрировали разную чувствительность к действию мМ концентраций азида натрия (рис. 1). Экто-НТФДаза морской лисицы была малочувствительна к действию азида, в то время как экто-АТФаза скорпены ингибировалась под действием азида, демонстрируя довольно высокие значения  $I_{50} = 15$  мМ (табл. 1). Исходя из полученных данных, ввиду того что  $HT\Phi$ Дазы -2-го типа других клеток вообще были нечувствительны к действию мМ концентраций азида натрия [17], экто-НТФДазы скорпены и морской лисицы могут быть отнесены к разным подсемействам. Экто-НТФДаза скорпены к экто-НТФДазам – 1-го типа, а морской лисицы – к экто-НТФДазам – 2-го типа. Линейный ход кривой ингибирования экто-НТФДазы эритроцитов скорпены азидом натрия свидетельствовал о том, что ингибирование фермента носит дозозависимый характер. Возрастающая концентрация ингибитора пропорционально тормозила ферментативную активность экто-АТФазы, что свидетельствовало о достаточно высокой ингибирующей активности азида в отношении экто-НТФДазы скорпены. Экто-НТФДаза эритроцитов ската проявляла высокую устойчивость к действию ингибитора и при возрастании его концентрации до 20 мМ, фермент стабильно сохранял активность на уровне 86% (см. табл. 1 и рис. 1). Причины такой стабильности неизвестны, но можно предположить, что активный центр экто-НТФДазы эритроцитов морской лисицы отличается от экто-фермента скорпены и возможно его устройство обеспечивает толерантность к присутствию высоких концентраций азида натрия.

Фторид натрия достаточно эффективно ингибировал работу экто-АТФаз эритроцитов рыб при  $I_{50} = 37$  мМ — для скорпены и  $I_{50} = 51$  мМ — для морской лисицы (табл. 1). Поэтому фторид натрия можно отнести к высокоактивным ингибиторам [18], способным при мМ концентрациях блокировать работу экто-НТФДаз в эритроцитах рыб. Ход кривых ингибирования экто-НТФДаз у морской лисицы и скорпены имеют сходный характер. Тем не менее, ингибирование фермента у скорпены, при аналогичных условиях, было более значимым и при 60 мМ концентрации NaF активность энзима, блокировалась полностью (на 94%) (см. рис. 2).

Фторид натрия в мМ концентрациях является эффективным блокатором многих ферментов. включая и АТФазы [19]. Специальных исследований по определению механизма ингибирования фторидом натрия экто-НТФДаз нами в литературе найдено не было. Однако известно, что соединения фтора обладают высоким сродством к ионам ряда металлов и в частности к иону Са<sup>2+</sup>. Известно, что все экто-АТФазы функционируют в присутствии двухвалентных катионов  $Mg^{2+}$  или  $Ca^{2+}$ . Можно предположить, что хотя магний и не образует стабильных комплексов с фторид-ионом, но он может взаимодействовать с ним [20], вызывая изменение фермент-субстратного комплекса в виде ингибиторного эффекта. Кроме того, ионы фтора способны связываться с функциональными группами аминокислотных остатков в активном центре ферментов, что также вызывает их ингибирование. Таким же путем ингибируются активности  $Na^+ K^+ - AT\Phi$ азы и ряда других фосфатаз [19]. Как показали исследования Н.И. Агалаковой и Г.П. Гусева [20], воздействие фторида натрия индуцирует апоптоз эритроцитов крыс. Как полагают исследователи, активация гибели эритроцитов происходит за счет увеличения внутриклеточной концентрации Са<sup>2+</sup>, которую провоцирует фторид в результате активации неселективных Са<sup>2+</sup>-проницаемых каналов и ингибирования активности

мембранной  $Ca^{2+}AT\Phi$ азы. Кроме того, цитозольный  $Ca^{2+}$  вызывал, за счет активации  $Ca^{2+}$  активируемых- $K^+$ -каналов, резкое падение внутриклеточной концентрации ионов  $K^+$ . Вместе с потерей  $K^+$  происходил выход, осмотически связанной воды и сморщивание клеток, что в конечном счете приводило к гибели эритроцитов крыс.

Ингибиторный эффект in vitro высоких концентраций фторида натрия антиоксидантных (супероксиддисмутаза, каталаза, глутатионпероксидаза) ферментов показан на эритроцитах человека [21]. Отмечено дозозависимое ингибирование активностей указанных выше антиоксидантных ферментов, что вызывало рост активных форм кислорода (АФК) и формирование реакции окислительного стресса на мембранах и во внутриклеточном пространстве эритроцитов. Как полагают J. Gutiérrez-Salinas и соавт. [22], это приводит к перекисному окислению липидов мембран, повреждению белковых макромолекул на поверхности и внутри клеток, падению энергетического метаболизма. Доказательством падения энергетического обмена в эритроцитах является наблюдаемое снижение внутриклеточной концентрации АТФ и АДФ под воздействием NaF [23]. Падение энергетического заряда эритроцитов обусловлено блокированием NaF-енолазы – одного из ключевых ферментов гликолиза. [24]. Однако в настоящее время получены данные о том, что енолаза не всегда является мишенью фторида [25]. Согласно современной гипотезе, гликолиз тормозится в результате внутриклеточного подкисления, которое возникает в процессе окислительного стресса индуцированного высокими концентрациями фторида натрия [26]. Кроме этого, фторид натрия дезорганизует работу митохондрий, вызывая падение мембранного потенциала и образования гигантской поры в их наружной мембране [27]. Это приводит к набуханию матрикса, разрыву наружной мембраны и выходу из митохондрий цитохрома c. Все это тормозит работу дыхательной цепи, подавляет синтез АТФ и, в конечном счете, ведет к развитию апоптоза и гибели клеток [28]. Таким образом, воздействие фторида натрия на эритроциты рыб носит многовекторный характер, последствие которого выражается в необратимом падении активности экто-НТФДаз на фоне оксидативного стресса, внутриклеточного энергетического коллапса и, в конечном счете гибели клеток.

Ортованадат натрия ( $Na_3VO_4$ ) относится к соединению с широким спектром действия на различные ферменты живой клетки. Считается, что среди многочисленных неорганических солей пятивалентный ванадий является наиболее токсичным [29]. Показано, что ортованадат ( $VO_4^{3-}$ ) в эритроцитах снижал скорость гликолиза, ингибируя активность глицеральдегид-3фосфатдегидрогеназы [30]. Ванадат проявлял нейротоксичные

свойства, блокируя в нейронах работу холинэстеразы и Ca<sup>2+</sup>, Mg<sup>2+</sup> ATФазы [31]. В почечных канальцах ванадат ингибировал Na+, K+-АТФазу, что приводило к отеку и натрийурии [32]. Также ванадат является эффективным ингибитором экто-АТФаз эпителия куриного яйцевода [6] и поэтому использование его в настоящем исследовании можно считать вполне обоснованным. В наших исследованиях действие ортованадата на экто-НТФДазу эритроцитов рыб выражалось в незначительном снижении активности фермента (рис. 3, табл. 1). Ферментативный ответ экто-АТФазы эритроцитов морской лисицы был более выражен и его активность, после воздействия в 2 мМ концентрации, падала на 25%, оставаясь на этом уровне вне зависимости от последующего увеличения действующей концентрации ортованадата. Максимальный ингибиторный эффект на активность экто-АТФазы эритроцитов скорпены наблюдался при 3 мМ концентрации реагента, а дальнейшее увеличение действующей концентрации ортованадата приводило к стимуляции активности фермента. Такое действие ортованадата можно рассматривать как модификацию активности фермента, а сам ортованадат следует рассматривать как модификатор активности экто-АТФазы, а не только как ее ингибитор. Эффекты, которые показывает ванадий, при воздействии на ферменты многообразны и зависят от типа ткани, собственных свойств фермента и даже концентрации ванадата [33]. Механизм действия ванадата на активность АТФаз до конца не расшифрован. Полагают, что тетраэдрический анион ванадата подобен фосфатному аниону и поэтому ванадат может взаимодействовать с различными физиологическими субстратами, с которыми функционирует анион фосфата. В общих чертах, ванадатная и фосфатная группы по своей тетраэдрической морфологии очень похожи сферическим распределением заряда во внешней сфере. Однако чистый ионный заряд этих ионов при рН, близкому к 7.0, отличается, что может приводить к различным взаимодействиям с электрофильными группами в активном центре АТФаз. Существуют и другие различия, основным из которых является восприимчивость ванадата к (одноэлектронному) восстановлению, вследствие наличия низколежащих *d* орбиталей и координационных чисел больше 4, обычно 5 или 6. Следствием этого является генерация пяти- или шестикоординатных анионов, фиксации ванадата координацией к функциональным группам, обеспечиваемым аминокислотными боковыми цепями белков [34] Таким образом, ванадат структурно может выступать конкурентом в занимаемых фосфором местах, в активных центрах ферментов и других местах. Кроме того, ванадат может связываться с АДФ и другими макроэргическими соединениями и тем самым влиять на активность АТФаз через модификацию захватываемых ими субстратов [35].

ЭДТА (этилендиаминтетрауксусная кислота и ее динатриевая соль) относится к малотоксичным анионитам и ее главное свойство - образование устойчивых водорастворимых комплексов с ионами металлов. Экто-НТФДазы в качестве субстрата используют двухкомпонентный  $Mg^{2+}(Ca^{2+})$ -AT $\Phi$ [11]. ЭДТА-Nа<sub>2</sub> препятствует формированию металл-нуклеозид-трифосфатного комплекса и тем самым является ингибирующим фактором, способным блокировать гидролиз экто-ферментами макроэргических фосфатов. ЭДТА была использована в качестве мощного ингибитора поверхностных НТФДаз еще в самом раннем периоде изучения экто-энзимов. Так, в 1957 г. Т.В. Венкстерну и В.А. Энгельгардту [36] при помощи 1 мМ ЭДТА удалось полностью блокировать экто-АТФазу эритроцитов голубя и доказать, что взрывной характер гидролиза гомогенатов эритроцитов птицы, обусловлен активностью именно этого фермента. Ими было подчеркнуто, что действие ЭДТА носит обратимый характер и добавление  $Mg^{2+}$  или  $Ca^{2+}$  на фоне блокатора полностью восстанавливало активность экто-АТФазы.

В наших экспериментах ЭДТА был малоэффективным ингибитором и вызывал частичное блокирование (40-50%) активности фермента в эритроцитах рыб даже при 12 мМ концентрации. Эта концентрация на порядок превышала концентрацию комплексона, использованного в опытах на эритроцитах голубя (рис. 4, табл. 1). В экспериментах с эритроцитами скорпены для ЭДТА константа ингибирования ( $I_{50}$ ) составляла 12 мM, что совпало с максимальной концентрацией реагента использованной в этих экспериментах. В отношении экто-НТФДазы эритроцитов морской лисицы ингибиторный эффект ЭДТА наблюдался только при низких концентрациях блокатора (2, 4, 6 мМ). При 6 мМ концентрации ЭДТА активность фермента снижалась максимально (на 58%). Константа ингибирования ( $I_{50}$ ) для этой части кривой составляла 4 мМ (рис. 4). При более высоких концентрациях (8, 10, 12 мМ) наблюдалась реверсивная активация активности экто-НТФДазы, которая постепенно возрастала на 20% (табл. 1) и  $I_{50}$  для этой части кривой составляла 9 мМ. В данном случае ЭДТА выступал как модифицирующий агент. Причины активации активности экто-АТФазы эритроцитов морской лисицы неизвестны. Однако присутствие ЭДТА способно вызывать активацию Са<sup>2+</sup> АТФазы мембран эритроцитов человека. По мнению Вольфа [37] эти изменения могут происходить в результате «частичной денатурации» фермента под действием комплексона. Ингибиторный ЭДТА у морской лисицы заканчивался, когда концентрация ингибитора и концентрация присутствующего в среде инкубации Mg<sup>2+</sup> выравнивались до эквимолекулярных значений. У скорпены последующее наращивание концентрации ингибитора вызывало лишь незначительное понижение активности фермента. При таких концентрациях ЭДТА в среде инкубации уже не должно было бы быть свободных двухвалентных катионов. Тем не менее экто-НТФДаза исследованных рыб продолжала сохранять активность на уровне 50-60%. Эти результаты свидетельствовали в пользу особых способностей экто-НТФДаз эритроцитов рыб. Можно полагать, что экто-НТФДазы эритроцитов рыб способны функционировать в условиях дефицита двухвалентных катионов, что маловероятно, или иметь их внутриклеточные резервы, при выходе которых из эритроцитов в окружающее пространство они способны поддерживать активность поверхностных АТФаз. Такие возможности у эритроцитов есть. Еще в 1969 г. при изучении движения Са<sup>2+</sup> через мембрану эритроцитов человека было установлено наличие активной экструзии Ca<sup>2+</sup> из эритроцитов, что может поддерживать или даже активировать активность  $Mg^{2+}$ ,  $Ca^{2+}$  -  $AT\Phi$ азы [38]. Согласно современным исследованиям, механизм экструзии опосредован мошным трансмембранным кальциевым насосом, который способен быстро удалять кальций из цитозольного пространства эритроцитов [39]. Нельзя не отметить важность и мембранного  $Ca^{2+}$ . Высокие концентрации ЭДТА могут удалить все двухвалентные катионы из инкубационной среды суспензии эритроцитов, но не могут удалить мембраносвязанный кальций [40], что может обеспечивать поддержание активности экто-АТФаз.

Полученные в наших исследованиях эффекты необходимо рассматривать как интегральный ответ активности экто-НТФДазы эритроцитов рыб ввиду многовекторности действий выбранных реагентов. С этим связаны трудности интерпретаций полученных результатов при работе с суспензиями цельных эритроцитов. Как уже указывалось выше, в доступной нам литературе ссылок на выделение из плазматических мембран эритроцитов позвоночных и получение чистых препаратов экто-НТФДаз нами не найдено. При выделении экто-НТФДаз из других клеток исследователи сталкиваются с трудностями, связанными с очень большой чувствительностью экто-АТФаз к действию детергентов и других агентов, применяемых для дезинтеграции мембраны. Под действием этих веществ поверхностно-локализованные АТФазы распадаются на фрагменты с потерей активности [41]. Местом приложения для выбранных ингибиторов являются не только активный центр и белковая молекула экто-фермента, не только катионы металлов, но и энергетика эритроцитов в целом. Блокирование гликолиза и дыхания митохондриального комплекса эритроцитов посредством ингибирования ключевых ферментов и дезинтеграции функционирования митохондриального матрикса приводит к существенному снижению энергетического потенциала эритроцитов и может оказывать влияние на работу экто-НТФДаз.

Полученные результаты позволяют сделать вывод о том, что экто-НТФДазы эритроцитов хрящевых и костистых рыб существенно различаются по резистентности к лействию выбранных биохимических агентов. Экто-НТФДаза эритроцитов морской лисицы обладает большей устойчивостью к выбранным нами реагентам. Возможно, причины такой устойчивости обусловлены наличием особой толерантности эритроцитов хрящевых рыб к высоким концентрациям мочевины (у морской лисицы около 400 мМ), которую они накапливают в плазме крови для поддержания осмотического равновесия с окружающей средой. Во всяком случае, это требует особых конструктивных решений на молекулярном уровне ввиду того, что мочевина для остальных эритроцитов позвоночных является сильнейшим ядом, и даже небольшие сбои в фильтрующей системе почек ведут к катастрофическим последствиям. Отсутствие ингибирующего эффекта азида натрия на экто-АТФазу эритроцитов морской лисицы позволяет предположительно отнести эту экто-НТФДазу к семейству экто-НТФДаз 2-го типа, тогда как экто-НТФДаза эритроцитов скорпены к экто-НТФДазам 1-го типа. Функциональное назначение экто-АТФаз плазматических мембран эритроцитов рыб не установлено, но присутствие постоянно высоких концентраций АТФ [42] в плазме крови рыб и высокие значения удельной активности экто-ферментов рыб [3, 4] свидетельствуют о значимой роли этих АТФаз в физиологии эритроцитов и кровотока в целом.

#### ИСТОЧНИКИ ФИНАНСИРОВАНИЯ

Работа выполнена в рамках государственного задания КНС—ПЗ РАН филиала ФГБУН ФИЦ ИнБЮМ "Изучение фундаментальных физических, физиолого-биохимических, репродуктивных, популяционных и поведенческих характеристик морских гидробионтов", номер гос. регистрации 121032300019-0.

# КОНФЛИКТ ИНТЕРЕСОВ

Авторы декларируют отсутствие явных и потенциальных конфликтов интересов, связанных с публикацией данной статьи.

## ВКЛАД АВТОРОВ

Ю.А. Силкин и Е.Н. Силкина, осуществили планирование, сбор данных, написание и редактирование манускрипта. М.Ю. Силкин осуществлял техническую поддержку при проведении экспериментальных исследований, участвовал в обработке и обсуждении экспериментальных данных, оформлении иллюстраций и редактировании статьи.

# СПИСОК ЛИТЕРАТУРЫ

- 1. *Barnstock G* (2015) Blood cells: an historical account of the roles of purinergic signaling. Purinergic Signalling 11: 411–434.
  - https://doi.org/10.1007/s11302-015-9462-7
- Yegutkin GG (2014) Enzymes involved in metabolism of extracellular nucleotides and nucleosides: Functional implications and measurement of activities. Crit. Rev. Biochem. Mol. Biol 49 (6): 473–497. https://doi.org/10.3109/10409238.2014.953627
- 3. *Silkin YuA*, *Silkina EN*, *Silkin MYu* (2017) The dynamics of heat production in erythrocytes of the scorpion fish (Scorpaena porcus Linnaeus, 1758). *In vitro* 43(2):164–170. https://doi.org/10.1134/S1063074017020092
- 4. *Silkin YA*, *Silkina EN* (2017) The study of bioenergetic characteristics of the red blood cells of Black Sea fish the common stingray (Dasyatis pastinaca L.) and Black scorpionfish (Scorpaena porcus L.) Biophysics 62 (3): 434–439.
  - https://doi.org/10.1134/S0006350917030204
- 5. *al-Rashida M, Iqbal J* (2014) Therapeutic potentials of ecto-nucleoside triphosphate diphosphohydrolase, ecto-nucleotide pyrophosphatase/phophodiesterase, ecto-5'-nucleotidase and alkaline phosphatase inhibitors. Medicinal Research Reviews 34(4):703–743. https://doi.org/10.1002/med.21302
- Knowles A, Nagy AK (1999) Ingibition of an ecto-ATP-diphosphohydrolase by azide. Eur. J. Biochem 262: 349— 357.
  - https://doi.org/10.1046/j.1432-1327.1999.00389.x
- 7. Pullman ME, Penefsky HS, Datta A, Racker E (1960) Partial resolution of the enzymes catalyzing oxidative phosphorylation. I. Purification and properties of soluble dinitrophenol-stimulated adenosine triphosphatase. J. Biol. Chem. 235: 3322–329.
- 8. Казеннов АМ, Маслова МН, Савина ГВ (1984) Сравнительная характеристика свойств Na<sup>+</sup>, K<sup>+</sup>- АТФазы эритроцитов человека и карпа *Cyprinos carpio*. Ж. эвол. биохим. и физиол. 20 (2): 167–173. [Kazennov AM, Maslova MN, Savina GV (1984) Sravnitel'naya harakteristika svojstv Na+, K+- ATFazy eritrocitov cheloveka i karpa Cyprinos carpio. J Evol Biochem Physiol 20 (2): 167–173. (in Russ)].
- 9. *Казеннов АМ, Маслова МН* (1980) Особенности активации детергентами Na,K-аденозинтрифосфатазы головного мозга позвоночных. Ж. эвол. биохим. и физиол. 16 (50): 430—436. [*Kazennov A.M., Maslova M.N.* (1980) Osobennosti aktivacii detergentami Na,K-adenozintrifosfatazy golovnogo mozga pozvonochnyh. J Evol Biochem Physiol 16 (50): 430—436.(in Russ)].
- 10. *Chen PS, Jr, Toribara TY, Warner H* (1956) Microdetermination of phosphorus Anal. Chem, 28: 1756–1758.
- 11. Vasilyeva E.V., Minkov I.B., Fitin A.F., Vinogradov A.D. (1982) Kinetic mechanism of mitochondrial adenosine triphosphatase. Inhibition by azide and activation by sulphite. Biochem. J. 202: 15–23. https://doi.org/10.1042/bj2020009
- 12. Ernster L, Jones LC (1962) Study of the nucleoside triand diphosphatase activities of rat liver microsomes. J.

- Cell Biol. 15: 563–577. https://doi.org/10.1083/jcb.15.3.563
- Strobel RS, Nagy AK, Knowles AF, Buegel J, Rosenberg MO (1996) Chicken oviductal ecto-ATP-diphosphohydro-lase. Purification and characterization. J. Biol. Chem. 271: 16232–16331. https://doi.org/10.1074/jbc.271.27.16323
- 14. *Plesner L* (1995) Ecto-ATPases: identities and functions. Int. Rev. Cytol. 158:141–214. https://doi.org/10.1016/s0074-7696(08)62487-0
- 15. *Treuheit MJ, Vaghy PL, Kirley TL* (1992) Mg<sup>2+-</sup>ATPase from rabbit skeletal muscle transverse tubules is a 67-kilodalton glycoprotein. J. Biol. Chem. 267:11777–11782.
- Kukulski F, Levesque SA, Lavoie EG, Lecka J, Bi-gonnesse F, Knowles AF, Robson3 SC, Kirley TL, Sevigny J (2005) Comparative hydrolysis of P2 receptor agonists by NTPDases 1, 2, 3 and 8. Purinergic Signalling 1: 193–204. https://doi.org/10.1007/s11302-005-6217-x
- 17. *Knowles AF, Li C* (2006) Molecular cloning and characterization of expressed human ecto-nucleoside triphosphate diphosphohydrolase 8 (E-NTPDase 8) and its soluble extracellular domain. Biochemistry 45:7323—7333. https://doi.org/10.1021/bi052268e
- Barbier O, Arreola-Mendoza L, Del Razo ML (2010) Molecular mechanisms of fluoride toxicity. Chemico-Biological Interactions 188: 319–333. https://doi.org/10.1016/j.cbi.2010.07.011
- 19. Adamek E, Pawiowska-Gyral K, Bober K (2005) In vitro and in vivo effects of fluoride ions on enzyme activity. Ann. Acad. Med. Stetin 51 (2): 69–85.
- 20. *Agalakova NI, Gusev GP* (2011) Fluoride-induced death of rat erythrocytes *in vitro*. Toxicology In Vitro 25: 1609–1618. https://doi.org/10.1016/j.tiv.2011.06.006
- 21. *Antonny B, Bigay J, Chabre M* (1990) A novel magnesium-dependent mechanism for the activation of transducin by fluoride. FEBS Letters 268 (1): 277–280. https://doi.org/10.1016/0014-5793(90)81027-1
- 22. Gutiérrez-Salinas J, García-Ortíz L, Morales González JA, Hernández-Rodríguez S, Ramírez-García S, Núñez-Ramos NR, Madrigal-Santillán E (2013) In vitro effect of sodium fluoride on malondialdehyde concentration and on superoxide dismutase, catalase, and glutathione peroxidase in human erythrocytes. Scientific World Journal 2013: 864—718. https://doi.org/10.1155/2013/864718
- Suska M (2001) The effect of sodium fluoride on the adenine nucleotide pool in erythrocytes of Wistar rats. Int.
   J. Occup. Med. Environ. Health. 14 (4): 369–373.

   PMID: 11885920
- 24. *Qin J, Chai G, Brewer JM, Lovelace LL, Lebioda L* (2006) Fluoride inhibition of enolase: crystal structure and thermodynamics. Biochem. 45: 793–800. https://doi.org/558s https://doi.org/10.1021/bi051
- 25. Liao Y, Chen J, Brandt BW et al. (2015) Identification and functional analysis of genome mutations in a fluoride-resistant Streptococcus mutans strain. PLOS ONE 10.: e0122630. https://doi.org/al.pone.0122630 https://doi.org/10.1371/journ

- 26. Gambino R, Piscitelli J, Ackattupathil TA et al. (2009) Acidification of blood is superior to sodium fluoride alone as an inhibitor of glycolysis. Clin. Chem. 55: 1019– 1021. https://doi.org/ hem.2008.12170 7 https://doi.org/10.1373/clinc
- 27. Izquierdo-Vega JA, Sánchez-Gutiérrez M, Del Razo ML (2008) Decreased in vitro fertility in male rats exposed to fluoride-induced oxidative stress damage and mitochondrial transmembrane potential loss. Toxicology and Applied Pharmacology 230 (3): 352–357. https://doi.org/10.1016/j.taap.2008.03.008
- 28. Anuradha CD, Kanno S, Hirano S 2001) Oxidative damage to mitochondria is a preliminary step to caspase-3 activation in fluoride-induced apoptosis in HL-60 cells. Biol. Med. 31 (3): 367–373. https://doi.org/10.1016/s0891-5849(01)00591-3
- 29. Sugiyama H, Matsugo S, Misu H et al. (2013) Regulation of the physiological effects of peroxidovanadium (V) complexes by the electronic nature of ligands. J. Inorg. Biochem. 121: 66–76. https://doi.org/10.1016/j.jinorgbio.2012.12.014
- Benabe JE, Echegoyen LA, Pastrana B, Martinez-Maldonado M (1987) Mechanism of inhibition of glycolysis by vanadate. J. Biol. Chem. 262 (20): 9555–9560. PMID: 3036865
- Robinson JD (1981) Vanadate inhibition of brain (Ca<sup>2+</sup> Mg<sup>2+</sup>)-ATPase. Neurochem. Res. 6 (3): 225–232. https://doi.org/10.1007/BF00964038
- Barceloux DG (1999) Vanadium. J. Toxicol. Clin. Toxicol. 37 (2): 265–278. https://doi.org/10.1081/clt-100102425
- 33. *Treviño S, Díaz A, Sánchez-Lara E, Sanchez-Gaytan BL, Perez-Aguilar JM, González-Vergara E* (2019) Vanadium in Biological Action: Chemical, Pharmacological Aspects, and Metabolic Implications in Diabetes Mellitus. Biological Trace Element Research 188: 68–98. https://doi.org/10.1007/s12011-018-1540-6
- 34. Turner TL, Nguyen VH, McLauchlan CC, Dymon Z, Dorsey BM, Hooker JD, Jones MA (2012) Inhibitory effects of decayanadate on several enzymes and Leishmania taren-

- *tolae* in vitro. J Inorg. Biochem. 108: 96–104. https://doi.org/10.1016/j.jinorgbio.201109.009
- Korbecki J, Baranowska-Bosiacka I, Gutowska I, Chlubek D (2012) Biochemical and medical importance of vanadium compounds. Acta Biochim. Pol. 59 (2): 195–200. PMID: 22693688
- 36. Венкстерн ТВ, Энгельгардт ВА (1957) Аспространение экто-аденозилполифосфатазы и характеристика некоторых ее свойств. Биохимия 22 (5): 911–916. [Venkstern TV, Engelhardt VA (1957) Distribution of ectoadenosinpolyphosphatase and characteristics of certain of its properties. Biochim. 22 (5): 911–916 (in Russ)].
- 37. Wolf HU (1972) Effects of Ethylenediaminetetra-acetate and Deoxycholate on Kinetic Constants of the Calcium Ion-Dependent Adenosine Triphosphatase of Human Erythrocyte Membranes. Biochem. J. 130: 311–314. https://doi.org/10.1042/bj1300311
- 38. *Schatzman HJ, Vincenzi FF* (1969) Calcium movements across the membrane of human red cells. J. Physiol. 201 (2): 369–395. https://doi.org/10.1113/jphysiol.1969.sp008761
- 39. Bogdanova A, Makhro A, Wang J, Lipp P, Kaestner L (2013) Calcium in red blood cells a perilous balance. Int. J. Mol. Sci. 14 (5): 9848—9872. https://doi.org/10.3390/ijms14059848
- Durriti-Cubria M, Seifen E, Schmidt HL (1967) Calcium content and uptake by erythrocyte stomata. Hoppe Seilerz Z. Physiol. Chem. 348 (8): 1043–1046. PMID: 4233216
- 41. *Christoforidis S, Papamarcaki T, Galaris D, Kellner R, Tsolas O* (1995) Purification and properties of human placental ATP diphosphohydrolase. Eur. J. Biochem. 234: 66–74. https://doi.org/10.1111/j.1432-1033.1995.066 c.x
- 42. *Jensen FB, Agnisola C, Novak I* (2009) ATP release and extracellular nucleotidase activity in erythrocytes and coronary circulation of rainbow trout. Comparative Biochemistry and Physiology Part A 152: 351–356. https://doi.org/10.1016/j.cbpa.2008.11.007

# THE EFFECT OF AZIDE, FLUORIDE, ORTHOVANADATE, AND EDTA SODIUM SALTS ON ECTO-ATPASE ACTIVITY OF RED BLOOD CELLS IN A SCORPIONFISH (SCORPAENA PORCUS L.) AND THORNBACK RAY (RAJA CLAVATA L.)

Yu. A. Silkin<sup>a, #</sup>, E. N. Silkina<sup>a</sup>, and M. Yu. Silkin<sup>a</sup>

<sup>a</sup> T. I. Vyazemsky Karadag Scientific Station — Nature Reserve of the Russian Academy of Sciences — Branch of A.O. Kovalevsky Institute of Biology of the Southern Seas, Russian Academy of Sciences, Feodosiya, Russia 

<sup>#</sup>e-mail: vsilkin@mail.ru

The effect of azide, fluoride, orthovanadate and EDTA sodium salts on the ecto-ATPase activity in red blood cells (RBCs) of a scorpionfish (*Scorpaena porcus* L.) and thornback ray (*Raja clavata* L.) was studied. It was shown that under the influence of millimolar (mM) concentrations of the selected biochemical agents, significant differences in the hydrolytic activity of RBC plasma membrane ecto-ATPases were revealed in cartilaginous *vs.* teleost fish. For example, thronback ray RBC ecto-ATPase was practically insensitive to sodium azide. In contrast, scorpionfish RBC ecto-ATPase was sensitive to sodium azide, which blocked the enzyme activity by 65% at a concentration of 20 mM. Thornback ray RBC ecto-ATPase retained a significant activity (37%) at high (60 mM) concentrations of sodium fluoride, while scorpionfish RBC ecto-ATPase was almost completely blocked at this concentration. EDTA acted as a modifier of thornback ray ecto-ATPase activity: at concentrations

of up to 6 mM, ATP hydrolysis was actively blocked (by 58%), and at higher concentrations, ecto-ATPase activity was stimulated (up to 20%). An increase in the EDTA concentration (up to 12 mM) in suspensions of scorpion-fish RBCs constantly stimulated the inhibitory effect of the chelator (up to 52% vs. control). The activity of ecto-ATPases in RBCs of the studied fish species was weakly blocked by sodium orthovanadate. These differences may reflect a higher tolerance of thornback ray RBC ecto-ATPase to the effect of the above chemical reagents compared to a scorpionfish. The absence of the sodium azide inhibitory effect on thornback ray RBC ecto-ATPase suggests that this ecto-ATPase may be referred to a family of type 2 ecto-NTPDases (ENTPD2), while scorpionfish ecto-ATPase may belong to type 1 ecto-NTPDases (ENTPD1).

Keywords: fish, erythrocytes, ecto-ATPases, sodium salts of azide, fluoride, orthovanadate, EDTA